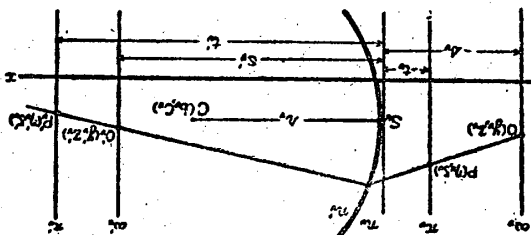


(1947年10月15日受理)

1. 序 望遠鏡などの共軸球面系ではその各屈折球面の球心がすべて系の軸上にあるものとして收差が論ぜられるのであるが、製作上この条件が完全に満たされず特殊の收差を生じている品物が屢々出来あがる。本論文はかかる軸調整不良の球面系の收差を五次以上の微小量を無限して計算し、Seidelの收差がどの様に變るかを調べるものである。末記の文獻の内 Conradyの論文は同様な内容のものであるが、彼が單に式の形だけを定めたのに對し、吾々は式に現はれる諸係數を系の定數や調整不良の度で數量的に計算出来る様に定めた外、結果の検討において興味深い關係を得たと信ずるのである。

2. 計算 軸調整不良を表はすのに與へられた光學系に對して一つの軸を考へ、之をx軸とした垂直座標に於いて各屈折面の球心のとるy-及びz-座標、第ν球面に對して $b_\nu$ 及び $c_\nu$ を用ひ、これを偏心率と呼ぶことにする。この軸は $b_\nu, c_\nu$ が十分小である様にすれば任意に選べるが、先づ調整が完全ならば系の主軸になつて $b_\nu, c_\nu$ がすべて零である様なものとする。

結像すべき物平面 $\omega_1$ 及び入射瞳の平面 $\pi_1$ はこの軸に垂直であるとし、偏心率がすべて零の場合にそれ



第 1 圖

らが近軸光線により次々の球面で結像される像平面を $\omega'_1, \omega'_2, \dots, \omega'_k$ ;  $\pi'_1, \pi'_2, \dots, \pi'_k$  ( $k$ は球面の總數)とする。 $\omega'_{\nu-1}, \pi'_{\nu-1}$ は第ν球面に對する物平面、入射瞳面であるから $\omega_\nu, \pi_\nu$ とも表はす。第1圖で示した様に第ν球面の球頂 $S_\nu$ からx軸の正方向(光の進む方向)に測つた $\omega_\nu, \pi_\nu, \omega'_\nu, \pi'_\nu$ の距離を $s_\nu, t_\nu, s'_\nu, t'_\nu$ とすれば Abbe の不變量の關係(1)及び $s_\nu - t_\nu = s'_{\nu-1} - t'_{\nu-1}$ の關係がある。 $r_\nu$ は第ν球面の半径(球心 $C_\nu$ が $S_\nu$ の正x-方向にあれば正)、 $n'_\nu, n_\nu$ ,

はその前後の空間の屈折率で、 $n_\nu = n'_{\nu-1}$ である。(印刷の都合上式類を大部分一まとめにして第1表に掲げる)

偏心が値を持つ場合に於いても上に定めた $\omega, \pi$ 等の平面を用ひ、一光線がそれらを切る點によつてその光線を指定する。第ν球面に入射する光線はそれが $\omega_\nu, \pi_\nu$ を切る點 $O_\nu(s_\nu, y_\nu, z_\nu), P_\nu(t_\nu, \eta_\nu, \zeta_\nu)$ によつて之を定める。

物點 $(s_1, y_1, z_1)$ を發して入射瞳上の點 $(t_1, \eta_1, \zeta_1)$ に向ふ光線が全系を通過して像平面 $\omega'_k$ に達し、點 $(s'_k, y'_k, z'_k)$ でそれを切るのであるが、 $y'_k, z'_k$ を $y_1, z_1, \eta_1, \zeta_1$ の函數として定めるのが吾々の問題である。(こゝでは第1の入射瞳が有效絞りである場合を考へておく。若し第ν球面に對する入射瞳が有効絞りをなす場合ならば獨立變數として $y_1, z_1, \eta_\nu, \zeta_\nu$ をとる方が適當である。)軸調整が完全で且つ近軸光線のみが使はれる場合には $y', z'$ は $\eta_1, \zeta_1$ によらないで $(y_1, z_1)$ に對する完全な像點の座標となり、この際横倍率は $\frac{n_1 s'_1 s'_2 \dots s'_k}{n'_k s_1 s_2 \dots s_k}$ であるから(2)となる。

第ν球面による結像に對して、その球心 $C_\nu$ を通りx軸に平行な直線を軸とすれば Seidel の式を利用することが出来る。それにより(3)が得られる。但し普通に $z_\nu = 0$ とした Seidel の式を $y_\nu \neq 0, z_\nu \neq 0$ の場合に一般化してそれを用ひるのである。(4)は(3)を書き直したものであるがy-成分だけを掲げたのである。

倍先づ第一近似として(4)の大括弧内の三次の微小量(普通の様に $y_\nu, z_\nu, \eta_\nu, \zeta_\nu$ 等及び偏心率 $b_\nu, c_\nu$ を一次の微小量と考へる)を省略する。 $\nu=1$ から $\nu=\nu$ まで(4)式を書きならべ、順次に $1 = \frac{h_1}{h_1}, \frac{s_2}{s_1} = \frac{h_2}{h_1}, \frac{s_3 s_3}{s'_1 s'_2} = \frac{h_3}{h_1}, \dots, \frac{s_\nu s_\nu \dots s_\nu}{s'_1 s'_2 \dots s'_{\nu-1}} = \frac{h_\nu}{h_1}$  ( $h_1, h_2, \dots$ は偏心のない場合物點 $(y_1=0, z_1=0)$ から出る一近軸光線が各球面に入射する點の軸からの距離に比例する)を掛けて加へ合せれば、 $n'_\mu = n_{\mu+1}, y'_\mu = y_{\mu+1}$ により(5)の第一式が得られる。第二式はz-成分に對するものである。この近似にて $(s'_\nu, y'_\nu, z'_\nu)$ は第1から第νに至る球面によつて得られる $(s_1, y_1, z_1)$ の完

全な像で、(5)の右邊は軸調整不良のために起るプリズム作用を表はすものである。

同じ程度の近似で  $(t_1, \eta_1, \zeta_1)$  の像  $(t'_1, \eta'_1, \zeta'_1)$  に関し(6)が得られる。そこでは  $1 = \frac{H_1}{H_1}, \frac{t_2}{t'_1} = \frac{H_2}{H_1}$ ,  $\frac{t_2 t_3}{t'_1 t'_2} = \frac{H_3}{H_1}, \dots, \frac{t_2 t_3 \dots t_n}{t'_1 t'_2 \dots t'_{n-1}} = \frac{H_n}{H_1}$  である。

次の近似に進むのに(4)の三次の項に含まれた  $\eta''_1, \zeta''_1, \nu''_1, z''_1$  を  $\eta_1, \zeta_1, \nu_1, z_1$  で表はす必要があり、このために(5), (6)を用ひる。例へば  $\eta''_1$  は(7)の様にするのであるが、それらの結果を(9)の記號を用ひて(8)の様に表はす。新記號  $b''_1, c''_1$  には(10)の遞加式が成り立ち、 $c''_1, \nu''_1$  に對しても同様なものがあるがそれらの關係式は夫々の量の意味を判り易くするとともに實際の計算に役立つと考へられる。

次に  $x$ -座標に關して  $s''_1 - t''_1 = s'_{-1} - t'_{-1}$  及び(1)を繰り返し應用して次の關係を得ておく。

$$n_1 h_1 H_1 \frac{b''_1 - t''_1}{s''_1 t''_1} = n_1 h_1 H_1 \frac{s'_{-1} - t'_{-1}}{s'_1 t'_1}$$

以上の諸關係式によつて(4)を書き直すと(11)が得られる。  $\nu = 1$  から  $\nu = k$  まで(11)式を書きならべ

$$\text{順次に } 1 = \frac{h_1}{h_1}, \frac{s_2}{s'_1} = \frac{h_2}{h_1}, \dots, \frac{s_2 s_3 \dots s_k}{s'_1 s'_2 \dots s'_{k-1}} = \frac{h_k}{h_1}$$

を掛けて加へ合せると吾々の求める結果に達するのであるが、尙その前に(11)の右邊大括弧中の量を  $(\eta_1 - b''_1)$  等の組合せでなく、 $\eta_1, \zeta_1, \nu_1, z_1$  の羣に開いておくのである。計算は甚だ複雑であるので、こゝに一々それを記すことを省略する。

3. 計算の結果 結果は(12)で與へられ、式の右邊は  $y''_k, z''_k$  を  $\eta_1, \zeta_1, \nu_1, z_1$  の冪級數で表はして居り、その係數は例へば  $\eta_1 \nu_1$  なる冪項に對して  $y''_k$  にあつては  $Y_{\eta \nu}$ ,  $Z''_k$  にあつては  $Z_{\eta \nu}$  の様に記されて居る。それらの係數の値が(13)により偏心率の函數として掲げられて居る。係數のあるもの  $\nu$  間には關係があり例へば  $Y_c = Z_\nu$  の如きである。偏心率としては  $b''_1, c''_1, \nu''_1, z''_1$  の組合せである(15)の様なものが使はれてゐる。  $\eta_1, \zeta_1, \nu_1, z_1$  について三乗の項の係數は Seidel の係數に外ならないので、Schwarzschild にならつて B, C, D, E, F の記號を用ひ、(14)に掲げた。

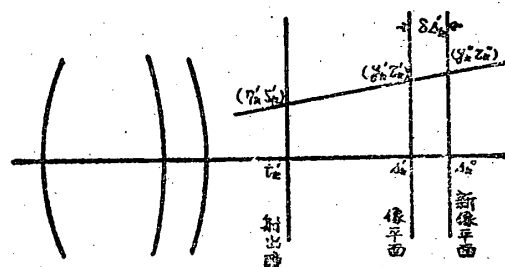
(12)は物點  $(y_1, z_1)$  から發する一光線が最後の像平面上で理想的の像點から外れるのを示すのであるが左邊で見る様に、その外れ自身でなく、それを倍率で割つて物平面上の物體尺度に換算し、更に  $n_1/s_1$  を掛けたものが與へられ、それは軸調整不良のためのプリズム作用による像全體としてのふれを差引いてある。

(12)の右邊の第一項  $Y_0$  はプリズム作用の追加であり、第二行の諸項はコマ收差を、第三、四行は非點收差と像面のまがりを、第五行は歪みを引き起すものである。この内特にコマ、非點收差、像面のまがりを次に考へて見ることにする。

4. コマ收差 軸調整不良によつて起る  $\eta_1, \zeta_1$  について二次の項は(12)右邊第二行の如く Seidel のコマ收差  $F$  項と結びつけ、それを變號させるものとして意味づけされる。上記の様な尺度で測られた收差はこれらの項により、(16)の様になる。收差曲線即ち物點  $(y_1, z_1)$  から出發して入射瞳上半徑  $\sigma$  の圓周  $\eta_1^2 + \zeta_1^2 = \sigma^2$  の上の點に向ふ光線群が像平面  $(\omega''_k)$  の上に切りとる曲線は(17)なる方程式で與へられ、これは  $\eta_1 = 0, \zeta_1 = 0$  なる光線に對する像點  $(y''_{k0}, z''_{k0})$  を尖端とし  $60^\circ$  の開きをなす二直線に内接する圓であること普通の Seidel コマと同様である。然し普通の場合では軸上の物點に對してコマ收差零となるのに對し今は物點  $y_1 = -\frac{Y_{cc}}{F}, z_1 = -\frac{Z_{\eta \eta}}{F}$  に對してコマ收差零となり、且つ他の點のコマの尖端はすべてこの點に向ふか又は逆に向ふかである。

$Y_{cc}$  及び  $Z_{\eta \eta}$  は夫々  $b''_1$  及び  $c''_1$  の整一次式である。係數  $F$  が小さくなければ上の點  $(-\frac{Y_{cc}}{F}, -\frac{Z_{\eta \eta}}{F})$  は軸點から一次の微小距離にある。然し與へられた球面系が Seidel コマに對して補正されたものであると  $F$  は小さく、この點は遠くに去る。  $\infty$  の距離に去ればすべての物點に對し一樣で平行なコマが生ずるのである。  $Y_{cc}, Z_{\eta \eta}$  が  $b''_1, c''_1$  の整一次式であるから、 $x$ -軸の平行移動とそれに伴ふ入射瞳の移動を施せばそれを零ならしめることが出来る。

5. 非點收差及び像面のまがり (12)兩式の右邊第三、四行の項の影響を考へる。これらは  $\eta_1, \zeta_1$  について一次の項であつてその様な項のあるのは考へた像平



第 2 圖

面がピントの合ふ面でなく、即ち之を移動してピントを合せれば、それらの項はなくなるのである。但し  $\eta_1$  と  $\zeta_1$  とが係數を異にするとそこに非點收差が起り、又係數が  $\nu_1, z_1$  に依存することによつて像面のまがり

第 I 表 (其の一)

①  $n'_v(\frac{1}{\lambda_v} - \frac{1}{\lambda'_v}) = n_v(\frac{1}{\lambda_v} - \frac{1}{\lambda'_v}) = Q_v$ ,  $n'_v(\frac{1}{\lambda_v} - \frac{1}{\lambda'_v}) = P_v$ ,  $A_v - t_v = A'_{v-1} - t'_{v-1}$

②  $y'_k = \frac{n_1 \Delta'_1 \Delta'_2 \dots \Delta'_k}{n_k \Delta_1 \Delta_2 \dots \Delta_k} y_k$ ,  $Z'_k = \frac{n_1 \Delta'_1 \Delta'_2 \dots \Delta'_k}{n_k \Delta_1 \Delta_2 \dots \Delta_k} Z_k$

③  $\frac{n'_v}{\lambda'_v} (y'_v - b'_v) = \frac{n_v}{\lambda_v} (y_v - b_v) + \frac{1}{(A_v - t_v)^2} \left[ -\frac{\Delta_v^2}{2} Q_v^2 (\eta_v - b_v) (\eta_v - b'_v)^2 + (S_v - C_v)^2 \right] + \frac{\Delta_v^2 t_v}{2} Q_v P_v (\frac{\Delta_v}{n \Delta_v}) \left[ (y'_v - b'_v) (\eta_v - b_v)^2 + (S_v - C_v)^2 \right] + (Z_v - C_v) (S_v - C_v) \left. \right\}$   
 $- \Delta_v t_v^2 P_v^2 (\frac{\Delta_v}{n \Delta_v}) (y'_v - b'_v) (\eta_v - b_v) + (Z_v - C_v) (S_v - C_v) - \frac{\Delta_v t_v^2}{2} \left\{ P_v^2 (\frac{\Delta_v}{n \Delta_v})^2 (\eta_v - b_v) (y'_v - b'_v)^2 + (Z_v - C_v)^2 \right\}$   
 $+ \frac{t_v^2}{2} \frac{P_v}{Q_v} \left\{ P_v^2 (\frac{\Delta_v}{n \Delta_v}) - (P_v - Q_v) \right\} (\frac{\Delta_v}{n}) \left\{ (y'_v - b'_v) (y_v - b_v)^2 + (Z_v - C_v)^2 \right\}$

$\frac{n'_v}{\lambda'_v} (Z'_v - C_v) =$  上式に於て  $y_v, \eta_v, b_v \geq Z_v, S_v, C_v$  とを夫々  $\lambda, h, \theta, \lambda, \tau, \theta$  の

④  $\frac{n'_v}{\lambda'_v} y'_v = \frac{n_v}{\lambda_v} y_v + (\Delta \eta)_v \frac{b_v}{\lambda_v} + \frac{1}{(A_v - t_v)} \left[ -\frac{\Delta_v^2}{2} Q_v^2 (\frac{\Delta_v}{n \Delta_v}) (\eta_v - b_v) (\eta_v - b'_v)^2 + (S_v - C_v)^2 \right] + \dots$

⑤  $\left\{ \begin{aligned} \eta_v - b_v &= \frac{n'_v t_v}{n_v t_v} \frac{H_v}{H'_v} (\eta_v - b'_v), & S_v - C_v &= \frac{n'_v t_v}{n_v t_v} \frac{H_v}{H'_v} (S_v - C'_v) \\ y_v - b_v &= \frac{n'_v \Delta_v}{n_v \Delta_v} h_v (y_v - b'_v), & Z_v - C_v &= \frac{n'_v \Delta_v}{n_v \Delta_v} h_v (Z_v - C'_v) \end{aligned} \right.$

⑥  $\left\{ \begin{aligned} b'_v &= -\frac{t_v}{n_v} \left( \sum_{\mu=1}^{v-1} \frac{H_\mu}{\lambda_\mu} \frac{(\Delta \eta)_\mu b_\mu}{\lambda_\mu} - \frac{H_v \eta_v b_v}{H_v t_v} \right), & C'_v &= -\frac{t_v}{n_v} \left( \sum_{\mu=1}^{v-1} \frac{H_\mu}{\lambda_\mu} \frac{(\Delta \eta)_\mu C_\mu}{\lambda_\mu} - \frac{H_v \eta_v C_v}{H_v t_v} \right) \\ b''_v &= -\frac{\Delta_v}{n_v} \left( \sum_{\mu=1}^{v-1} \frac{h_\mu}{\lambda_\mu} \frac{(\Delta \eta)_\mu b_\mu}{\lambda_\mu} - \frac{h_v \eta_v b_v}{h_v \Delta_v} \right), & C''_v &= -\frac{\Delta_v}{n_v} \left( \sum_{\mu=1}^{v-1} \frac{h_\mu}{\lambda_\mu} \frac{(\Delta \eta)_\mu C_\mu}{\lambda_\mu} - \frac{h_v \eta_v C_v}{h_v \Delta_v} \right) \end{aligned} \right.$

⑩  $b'_v - b''_v = \frac{n'_v \Delta_v}{n_v \Delta_v} \frac{b_v - b''_v}{\lambda_v} = \frac{n'_v \Delta_v}{n_v \Delta_v} \frac{\Delta_{v-1}}{\lambda_{v-1}} (b_v - b_{v-1})$ ,  $b''_v - b_{v-1} = \frac{n'_v \Delta_v}{n_v \Delta_v} \frac{\Delta_{v-1}}{\lambda_{v-1}} (b_v - b_{v-1})$

⑪  $\frac{n'_v}{\lambda'_v} y'_v - \frac{n_v}{\lambda_v} y_v + (\Delta \eta)_v \frac{b_v}{\lambda_v} + \frac{1}{(A_v - t_v)} \left[ -\frac{\Delta_v^2}{2} \left( \frac{h_v}{h_v} \right) Q_v^2 (\eta_v - b_v) (\eta_v - b'_v)^2 + (S_v - C_v)^2 \right] + \frac{\Delta_v^2 t_v}{2} \left( \frac{h_v}{h_v} \right) Q_v P_v (\frac{\Delta_v}{n \Delta_v}) \left[ (y'_v - b'_v) (\eta_v - b_v) (\eta_v - b'_v)^2 + (S_v - C_v)^2 \right] + (Z_v - C_v) (S_v - C_v) \left. \right\}$   
 $\leq \frac{\Delta_v^2 t_v}{2} \left( \frac{h_v}{h_v} \right) \left[ \frac{H_v}{H_v} \right] P_v^2 (\frac{\Delta_v}{n \Delta_v}) \left[ 2(y'_v - b'_v) (y_v - b_v) (\eta_v - b_v) + (Z_v - C_v)^2 \right] + \frac{\Delta_v^2 t_v}{2} \left( \frac{h_v}{h_v} \right) \frac{H_v}{H_v} \frac{P_v}{Q_v} \left[ \frac{H_v}{H_v} \right] \frac{P_v}{Q_v} \left[ \frac{H_v}{H_v} \right] \left[ (y'_v - b'_v) (y_v - b_v) (\eta_v - b_v) + (Z_v - C_v)^2 \right]$

⑫  $\frac{n'_v}{\lambda'_v} Z'_v = \frac{n_v}{\lambda_v} Z_v + (\Delta \eta)_v \frac{C_v}{\lambda_v} + \frac{1}{(A_v - t_v)} \left[ -\frac{\Delta_v^2}{2} \left( \frac{h_v}{h_v} \right) Q_v^2 (\eta_v - b_v) (S_v - C_v) \right] + \dots$

⑬  $\frac{n'_v}{\lambda'_v} \left( \frac{n'_v \Delta_v}{n_v \Delta_v} \frac{\Delta_{v-1}}{\lambda_{v-1}} \frac{b_{v-1}}{\lambda_{v-1}} - \sum_{\mu=1}^{v-1} \frac{h_\mu}{\lambda_\mu} \frac{(\Delta \eta)_\mu b_\mu}{\lambda_\mu} \right) = Y_v$   
 $+ (Y_{v+1} + F_{v+1}) (S_v^2 + S_v^2) + 2(Z_{v+1} + F_{v+1}) \eta_v S_v$   
 $+ \left\{ Y_1 + Y_{v+1} y_1 + Y_{v+2} z_1 + (2C + D) y_1^2 + D z_1^2 \right\} \eta_v$   
 $\diamond \left\{ Y_1 + Y_{v+1} y_1 + Y_{v+2} z_1 + 2C y_1 z_1 \right\} S_v$

第 1 表 (其の二)

$$\begin{aligned}
 & + Y_{yz}^2 + Z_{zz}^2 + Y_{yz}^2 + Z_{yz}^2 + Z_{zz}^2 + E Z_1 (Y_1^2 + Z_1^2) \\
 (13) \quad & Y_0 = \frac{\Delta_1}{2(\Delta_1 - t_1)} \sum_{v=1}^k \frac{h_v}{h_1} \frac{1}{Q_v} \left( B_v \right) - \left( \frac{\Delta_1}{\pi \Delta v} \right) (B_v^2 + C_v^2) + \frac{(P_v - Q_v)^2 (\frac{\Delta_1}{\pi \Delta v})}{P_v^2} (\beta_v^2 + \gamma_v^2) \\
 & Z_0 = \frac{\Delta_1}{2(\Delta_1 - t_1)} \sum_{v=1}^k \frac{h_v}{h_1} \frac{1}{Q_v} (C_v) \\
 & Y_1 = Z_0 = -\frac{\Delta_1}{(\Delta_1 - t_1)^2} \sum_{v=1}^k \left( \frac{h_v}{h_1} \right)^2 \left( \frac{\Delta_1}{\pi \Delta v} \right) B_v C_v \\
 & Y_2 = \frac{t_1}{(\Delta_1 - t_1)^2} \sum_{v=1}^k \frac{h_v}{h_1} \frac{H_v}{H_1} \frac{P_v}{Q_v} \left\{ \left( \frac{\Delta_1}{\pi \Delta v} \right) B_v C_v + \frac{(P_v - Q_v)^2 (\frac{\Delta_1}{\pi \Delta v})}{P_v^2} (B_v \gamma_v) \right\} \\
 & Z_2 = \frac{\Delta_1 t_1}{(\Delta_1 - t_1)^2} \sum_{v=1}^k \frac{h_v}{h_1} \frac{H_v}{H_1} \frac{P_v}{Q_v} \left\{ \left( \frac{\Delta_1}{\pi \Delta v} \right) (C_v) + \frac{(P_v - Q_v)^2 (\frac{\Delta_1}{\pi \Delta v})}{P_v^2} (C_v \beta_v) \right\} \\
 & \frac{1}{2} Z_{yz} = \frac{1}{3} \frac{Y_{yz}}{Z_{yz}} = \frac{Y_{yz}}{Z_{yz}} = \frac{\Delta_1^2}{2(\Delta_1 - t_1)^2} \sum_{v=1}^k \frac{h_v}{h_1} \frac{1}{Q_v} \left( \frac{\Delta_1}{\pi \Delta v} \right) (B_v) \\
 & \frac{1}{2} Y_{yz} = \frac{1}{3} \frac{Z_{yz}}{Y_{yz}} = \frac{Z_{yz}}{Y_{yz}} = \frac{\Delta_1^2}{2(\Delta_1 - t_1)^2} \sum_{v=1}^k \frac{h_v}{h_1} \frac{1}{Q_v} \left( \frac{\Delta_1}{\pi \Delta v} \right) (C_v) \\
 & Y_{yz} = -\frac{\Delta_1 t_1}{(\Delta_1 - t_1)^2} \sum_{v=1}^k \frac{h_v}{h_1} \frac{H_v}{H_1} \frac{P_v}{Q_v} \left\{ \left( \frac{\Delta_1}{\pi \Delta v} \right) (C_v) - \left( \frac{P_v - Q_v}{P_v} \right) \left( \frac{\Delta_1}{\pi \Delta v} \right) (B_v) \right\} \\
 & Z_{yz} = -\frac{\Delta_1 t_1}{(\Delta_1 - t_1)^2} \sum_{v=1}^k \frac{h_v}{h_1} \frac{H_v}{H_1} \frac{P_v}{Q_v} \left\{ \left( \frac{\Delta_1}{\pi \Delta v} \right) (B_v) - \left( \frac{P_v - Q_v}{P_v} \right) \left( \frac{\Delta_1}{\pi \Delta v} \right) (C_v) \right\} \\
 (14) \quad & B = -\frac{\Delta_1^2}{2(\Delta_1 - t_1)^2} \sum_{v=1}^k \left( \frac{h_v}{h_1} \right)^2 Q_v \left( \frac{\Delta_1}{\pi \Delta v} \right), \quad F = \frac{\Delta_1^2 t_1}{2(\Delta_1 - t_1)^2} \sum_{v=1}^k \left( \frac{h_v}{h_1} \right)^2 \frac{H_v}{H_1} Q_v \left( \frac{\Delta_1}{\pi \Delta v} \right) \\
 & D = -\frac{\Delta_1 t_1}{2(\Delta_1 - t_1)^2} \sum_{v=1}^k \left( \frac{h_v}{h_1} \right)^2 \frac{H_v}{H_1} \left\{ P_v \left( \frac{\Delta_1}{\pi \Delta v} \right) - (P_v - Q_v) \left( \frac{\Delta_1}{\pi \Delta v} \right) \right\} \\
 (15) \quad & B_v = \Delta_1 \frac{h_v}{h_1} Q_v b_v' - t_1 \frac{H_v}{H_1} P_v C_v', \quad C_v = \Delta_1 \frac{h_v}{h_1} Q_v C_v' - t_1 \frac{H_v}{H_1} P_v C_v' \\
 (16) \quad & \left. \begin{aligned} \delta Y &= (Y_{15} + F \gamma_1)(3\gamma_1^2 + 3\gamma_1^2) + 2(Z_{17} + F Z_1) \gamma_1 \delta_1 \\ \delta Z &= (Z_{17} + F Z_1) \gamma_1^2 + 3\gamma_1^2 + 2(Y_{15} + F \gamma_1) \gamma_1 \delta_1 \end{aligned} \right\} \\
 (17) \quad & \left. \begin{aligned} \beta_v &= t_1 \frac{H_v}{H_1} P_v b_v', \quad \gamma_v = t_1 \frac{H_v}{H_1} P_v C_v' \\ \delta \gamma &= (Y_{15} + F \gamma_1)(3\gamma_1^2 + 3\gamma_1^2) + 2(Z_{17} + F Z_1) \gamma_1 \delta_1 \\ \delta Z &= (Z_{17} + F Z_1) \gamma_1^2 + 3\gamma_1^2 + 2(Y_{15} + F \gamma_1) \gamma_1 \delta_1 \end{aligned} \right\} \\
 (18) \quad & \left. \begin{aligned} \frac{\tau_1}{\Delta_1} \frac{\tau_k \Delta_1 \delta_1 \delta_2 \dots \delta_k}{\tau_1 \Delta_1 \delta_1 \delta_2 \dots \delta_k} (\gamma_k'' - \gamma_{k0}'') &= \left\{ Y_7 + Y_{17} \gamma_1 + Y_{12} Z_1 + (2C + D) \gamma_1^2 + D Z_1^2 - \frac{\tau_1}{\Delta_1} \frac{\delta \Delta_1}{\Delta_1 - t_1} \right\} \tau_1 + \left\{ Y_5 + Y_{15} \gamma_1 + Y_{12} Z_1 + 2C \gamma_1 Z_1 \right\} \delta_1 \\ \frac{\tau_1}{\Delta_1} \frac{\tau_k \Delta_1 \delta_1 \delta_2 \dots \delta_k}{\tau_1 \Delta_1 \delta_1 \delta_2 \dots \delta_k} (Z_k'' - Z_{k0}'') &= \left\{ Y_5 + Y_{15} \gamma_1 + Y_{12} Z_1 + 2C \gamma_1 Z_1 \right\} \tau_1 + \left\{ Z_5^2 + Z_{15} \gamma_1 + Z_{12} Z_1 + (2C + D) Z_1^2 + D \gamma_1^2 - \frac{\tau_1}{\Delta_1} \frac{\delta \Delta_1}{\Delta_1 - t_1} \right\} \delta_1 \end{aligned} \right\} \\
 (20) \quad & \delta Y = L \gamma_1 + M \delta_1, \quad \delta Z = M \gamma_1 + N \delta_1 \\
 (22) \quad & \delta Z = \frac{N}{M} \delta Y, \quad \tan \phi_1 = \frac{N}{M}, \quad \tan \phi_2 = \frac{N}{M} \\
 (23) \quad & \tan \phi_1 = \frac{N}{M}, \quad \tan \phi_2 = \frac{2M}{L - N} = \tan 2\phi \\
 (25) \quad & \frac{\tau_1}{\Delta_1} \frac{\delta \Delta_1 + \delta \Delta_2}{2(\Delta_1 - t_1)} = \frac{1}{2} \left\{ (Y_7 + Y_5) + (Y_{17} + Z_{15}) \gamma_1 + (Y_{12} + Z_{12}) Z_1 + 2(C + D)(\gamma_1^2 + Z_1^2) \right\} \\
 (27) \quad & \frac{\tau_1}{\Delta_1} \frac{\delta \Delta_1 - \delta \Delta_2}{(\Delta_1 - t_1)} = \sqrt{(L - N)^2 + 4M^2} = \sqrt{(Y_7 - Z_1)^2 + 4Y_{12}^2 Z_1 + 2C(\gamma_1^2 - Z_1^2)} + 4 \left\{ Y_5 + Y_{15} \gamma_1 + Y_{12} Z_1 + 2C \gamma_1 Z_1 \right\}^2 \\
 (28) \quad & \left. \begin{aligned} L - N &= (Y_7 - Z_1) + 2Y_{12} \gamma_1 - 2Y_{15} Z_1 + 2C(\gamma_1^2 - Z_1^2) = 0 \\ M &= Y_5 + Y_{15} \gamma_1 + Y_{12} Z_1 + 2C \gamma_1 Z_1 = 0 \end{aligned} \right\}
 \end{aligned}$$

が起る。今像平面を  $\delta s_k' = s_k'' - s_k'$  だけ移して  $s_k''$  の位置に持つて来たとき、 $y_k', z_k', \eta_k', \zeta_k'$  で定められる光線が新像平面を切る點 ( $y_k'', z_k''$ ) を求めるに第2圖で明らかな様:

$$y'' = y_k' + \frac{\delta s_k'}{s_k' - t_k'} (y_k' - \eta_k'),$$

$$z_k'' = z_k' + \frac{\delta s_k'}{s_k' - t_k'} (z_k' - \zeta_k')$$

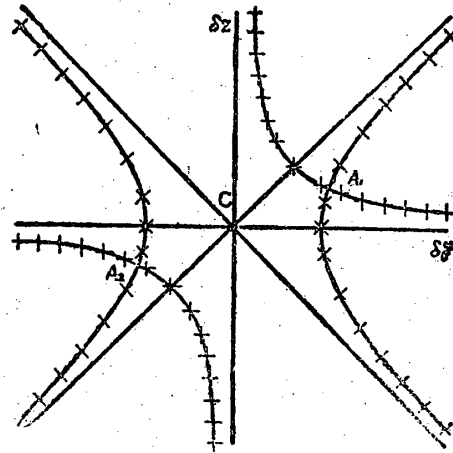
である。 $\delta s_k'$  は後に見る様に二次の微小量であるから右邊第二項の  $y_k', \eta_k', z_k', \zeta_k'$  に対しては (5), (6) を用ひて計算する。倍プリズム作用や歪みの影響を除外するために、物點から入射瞳の中心に向ふ  $\eta_1 = 0, \zeta_1 = 0$  なる光線の像點 ( $y_{k0}'', z_{k0}''$ ) からの外れ  $y_k'' - y_{k0}'', z_k'' - z_{k0}''$  をとり、且つ今絞りが十分小さく  $\eta_1, \zeta_1$  について二次であるコマ項は小であるとすれば (18) を得る。こゝに  $\delta s_1$  は (19) の様に  $\delta s_k'$  を系の縦倍率  $\frac{n_1}{n_k'} \left( \frac{s_1/s_2' \dots s_k'}{s_1 s_2 \dots s_k} \right)^2$  で割り物空間の長さ直したものである。 $L, M, N$  なる記號を用ひて (18) を (20) の様に記す。この場合の收差曲線の方程式は (20) から  $\eta_1, \zeta_1$  を解いて  $\eta^2 + \zeta^2 = \sigma^2$  に入れれば得られ、(21) となる。これは、判別式が

$$(L^2 + M^2)(M^2 + N^2) - M^2(L + N)^2 = (LN - M^2)^2 > 0$$

であるから楕圓である。像平面をすらし  $\delta s_k'$  をかへて行くと  $L, N$  が變り、楕圓の形が變る。 $N - M^2 = 0$  となるとき楕圓は一直線 (22) となる。 $LN - M^2 = 0$  は  $\delta s_1$  についての二次方程式で二實根  $\delta s_{I1}, \delta s_{II1}$  を持つ。 $\delta s_1$  がこの値をとる二個所でこれが起り、非點收差における二焦線に外ならない。二焦線が  $y$ -軸となす角を夫々  $\phi_I, \phi_{II}$  とすれば (22) により (23) でそれは與へられる。 $N_I, N_{II}$  は  $\delta s_1$  が夫々  $\delta s_{I1}, \delta s_{II1}$  なるときの  $N$  である。これらの角の2倍の正切をとれば (24) の様に等しくなつて、二焦線は互に垂直な方位をとることが判る。

$L, M, N$  が  $y_1, z_1$  を含むので  $\delta s_{I1}, \delta s_{II1}$  は物點によつて變るのであつて、それは非點收差兩像面のまがりを與へる。兩根の平均値は (25) で與へられ、像面のまがりの平均値を定める。この平均像面は  $x$ -軸に平行な軸をもつ回轉拋物體表面であつて、その頂點は物空間に直して (26) に當る。兩根の差は (27) で與へられるが、これは非點隔差を與へる。

(27) により非點收差は (28) なる二つの双曲線の交



第 3 圖

點で與へられる物點に對して零であり、從つてそういう點が二つ起る(第3圖  $A_1, A_2$ ). この二つの双曲線は何れも中心を  $y_1 = -\frac{Ys_z}{2C}, z_1 = -\frac{Y\zeta_y}{2C}$  に持つ直角双曲線で漸近線が  $45^\circ$  だけ方向を異にするものである。(24)により双曲線  $L - N = 0$  上の物點に對しては二つの焦線の方位は  $y, z$ -軸と  $45^\circ$  の角をなし、 $M = 0$  の上の物點に對しては二焦線は  $y, z$ -軸に平行である。一般に二焦線が  $y, z$ -軸と一定の角をなす様な物點の軌跡は  $k$  をその角度に對する定數として

$$\frac{k}{2}(L - N) - M = 0$$

なる双曲線であり、それらは何れも  $A_1, A_2$  を通り、漸近線が二焦線に平行である。

6. 今後の研究 吾々の得た一般式は甚だ複雑である。今後簡単な特別な場合からはじめて之が應用を試み様と考へる。この方向には既に研究を進めて居る。後には與へられた光學系に對して收差の觀測から逆にどの球面が偏心して居るかを定める様にしたのである。軸調整不良の望遠鏡に著しく現はれる收差について尙検討を要するものがあるのでその方面にも進みたいと思ふ。

文 献

A. E. Conrady, Month. Not. Roy. Astronom. Soc., 79 (1918/19), 334.  
 H. Schulz, ZS. f. techn. Phys., (1940), Nr. 1.  
 A. Thomerscheit, Instrumentenkunde, 61 (1941), 201.  
 Luigi Martinelli, Ottica 3 (1933), 11-29, Nr.1.